

**Raport stiintific**  
*privind implementarea proiectului "Investigarea fundamentala si holistica a fractiunilor materiei organice dizolvate in vederea dezvoltarii unei metode inovative de semnalare" in perioada ianuarie –decembrie 2012*

Cod proiect: PN-II-RU-TE-2011-3-0077

Faza actuala: Faza 2, 16.12.2011-15.12.2012

### **Introducere**

In ultimele decenii, spectroscopia de fluorescenta a fost utilizata intens pentru analiza materiei organice dizolvate (engl. DOM) si a poluantilor din apa. Tehnica prezinta numeroase avantaje, printre care se numara: sensibilitate mare, masurare rapida, necesitatea unei cantitati reduse de proba pentru masurare, fara tratare prealabila a probei. In plus, spectroscopia de fluorescenta se coreleaza cu parametrii standard, precum consumul biochimic de oxigen, carbonul organic total si oxigenul dizolvat [1]. Pe baza acestor considerente, cateva studii au sugerat posibilitatea utilizarii spectroscopiei de fluorescenta pentru a monitoriza calitatea apei, in vederea identificarii caracteristicilor DOM la scala temporală, detectarii poluantilor si ca surogat al metodelor standard [2, 3]. Insa, doar cateva studii s-au axat pe monitorizarea continua si *in-situ*, din cauza lipsei aparatelor necesare.

### **Obiectiv**

Obiectivul acestei faze a fost de a evaluare, la scala diurna, a componentelor DOM din sistemele acvatice, precum si a poluantilor de natura petroliera, care interfereaza cu semnalul de fluorescenta al DOM. Pentru a atinge scopul fazei, au fost monitorizate 2 sisteme acvatice: un sistem natural urban si sistem antropic, folosind un montaj experimental conceput in acest sens. Pe baza experimentelor de monitorizare, au fost analizate atat specificitatile de fluorescenta ale componentelor DOM, cat si versatilitatea metodei si impactul unor factori care pot afecta spectrele de fluorescenta.

### **Activitatea 1. Definirea protocolului experimental**

Au fost alese doua sisteme acvatice diferite, un rau urban si un canal artificial, asupra carora s-au realizat experimente de monitorizare continua, prin fluorescenta, utilizand montajul experimental din figura 1. Fluorimetru, amplasat intr-o statie laborator, este conectat la o fibra optica inserata intr-un recipient de colectare. Apa este extrasă din sistemul acvatic prin tuburi de plastic, folosind o pompa cu vid, care trimite apa catre recipientul de colectare. Recipientul are 2 orificii (intrare - iesire), pentru a putea permite recircularea apei. Intervalul de masurare trebuie sa fie de cel putin 30 min, in vederea identificarii rapide a unor contaminari accidentale, si maxim 3 min, pentru a evita incarcarea cu date a computerului si suprasolicitarea fluorimetrlui.

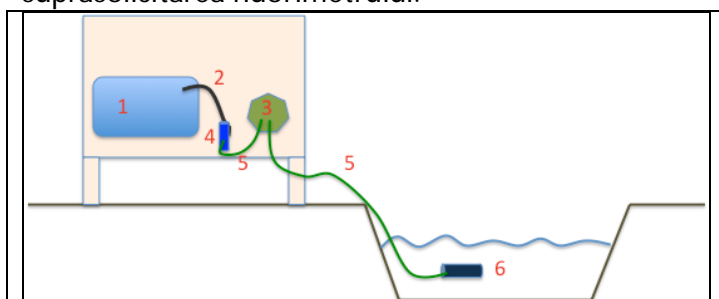


Figura 1. Montajul experimental: 1 – spectrofluorimetru, 2 – fibra optica, 3 – pompa cu vid, 4 – recipient colectare proba, 5 – tub plastic, 6 – cilindru cu sită.

Pentru achizitia spectrelor de fluorescenta s-au folosit urmatorii parametri: domeniul de excitatie 200 – 400 nm, pas de 5 nm, domeniul de emisie 280 - 500 nm, cu pas de 2 nm, fantele de excitatie si emisie 5 nm. Parametrii de achizitie pot fi modificati in functie de capacitatea fluorimetrlui pentru a atinge cel mai bun compromis intre timpul de masurare si maximul de informatie oferit de spectrele de fluorescenta. In cadrul acestui studiu, s-au inregistrat matrici de excitare-emisie (engl. EEM), dar se pot inregistra doar spectre de emisie cu excitare la 260 nm, pentru a detecta componente principale ale DOM. Se recomanda o curatare usoara a sistemului de colectare la fiecare 2 saptamani, in cazul in care nu exista contaminare a sistemului acvatic si o curatare riguroasa, dupa o contaminare cu ape menajere sau produse petroliere. In paralel, se recomanda analiza, la intervale regulate, a probelor cu echipamente standard. Probele, in acest caz, au fost masurate pentru: temperatura, pH si absorbtie.

doar spectre de emisie cu excitare la 260 nm, pentru a detecta componente principale ale DOM. Se recomanda o curatare usoara a sistemului de colectare la fiecare 2 saptamani, in cazul in care nu exista contaminare a sistemului acvatic si o curatare riguroasa, dupa o contaminare cu ape menajere sau produse petroliere. In paralel, se recomanda analiza, la intervale regulate, a probelor cu echipamente standard. Probele, in acest caz, au fost masurate pentru: temperatura, pH si absorbtie.

## **Activitatea 2. Evaluarea factorilor care afecteaza spectrele de fluorescenta**

Semnalul de fluorescenta este puternic afectat de temperatura, compositia, concentratia si pH-ul solutiei. In general, cel mai important factor care afecteaza fluorescenta probelor de apa este temperatura. Intensitatea fluorescentei scade odata cu cresterea temperaturii, iar studiul realizat de Baker [4] arata ca la o descrestere a temperaturii de la  $45^0\text{ C}$  la  $10^0\text{ C}$  intensitatea fluorescentei DOM creste cu ~48 %. Totusi, in cazul unei monitorizari in timp real prin fluorescenta, temperatura apei poate scadea, iarna, sub  $10^0\text{ C}$ . De aceea, pentru aceasta faza, s-a evaluat modificarea intensitatii fluorescentei materiei organice prin varierea temperaturii de la  $20^0\text{ C}$  la  $0^0\text{ C}$ . S-a observat o crestere a intensitatii fluorescentei triptofanului si a substantelor humice, in procente diferite (pana la 47 % si, respectiv, 25 %) in functie de tipul de proba analizat. Pentru corectia spectrelor, se realizaza o curba de calibrare la mai multe temperaturi si se foloseste ecuatie data de Watras et al. [5].

Un alt factor care afecteaza fluorescenta este efectul de auto absorbtie (engl. IFE). IFE reprezinta o scadere a eficientei cuantice si o deformare a formei benzii in urma absorbtiei radiatiei de excitare si emisie de catre compusii din proba [3]. Acest fapt induce un fenomen de deplasare spre rosu a fluorescentei in functie de concentratie, care este observat la sistemele multifluoroforce [6]. S-au sugerat diferite metode de a corecta spectrele in cazul aparitiei IFE, cele mai frecvente fiind: corectia empirica bazata pe maximul Raman [7], corectia matematica bazata pe absorbtia aceleiasi probe [8], utilizarea relatiei neliniare dependenta de lungimea de unda rezultanta, intre intensitatea fluorescentei si concentratie [3], dilutia probei pana la o concentratie la care efectele IFE sunt neglijabile si verificarea absorbtiei cu prag de 0,01 [9, 10] sau utilizarea unor algoritmi PARAFAC pentru aplicarea corectiei IFE pe EEM [11]. Varianta optima pentru eliminarea IFE din spectrele obtinute in timp real este prin algoritmi PARAFAC, dar se poate utiliza si metoda simpla a dilutiei.

De asemenea, valoarea pH-ului probei afecteaza fluorescenta unui fluorofor. Intensitatea fluorescentei DOM creste odata cu cresterea pH-ului pana la valoarea 10 [12]. In general, nu este indicata alterarea pH-ului unei probe, insa trebuie sa se acorde atentie deosebita asupra valorii pH-ului, iar spectrele trebuie corectate [13].

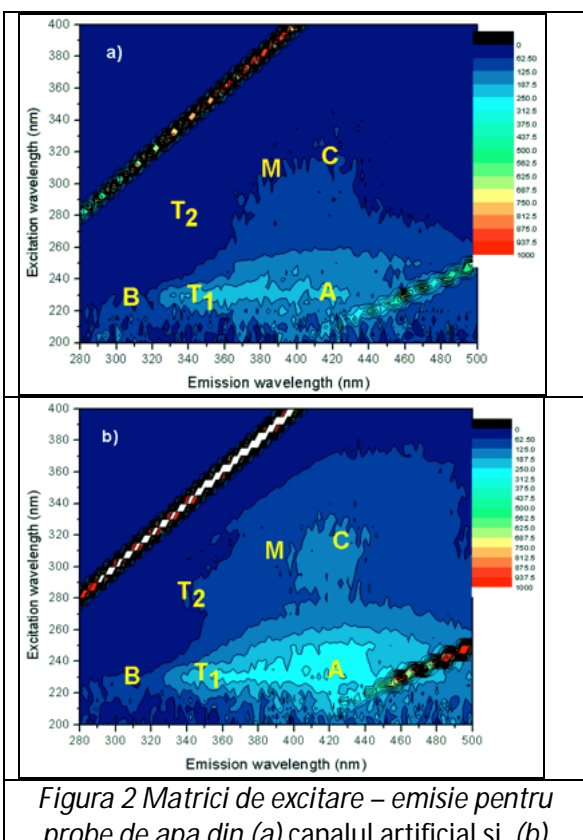
Acesti factori apar, in general, la probele foarte poluate, care implica o concentratie mare a contaminantului, iar in acest caz se recomanda masurarea absorbtiei pentru a verifica aparitia IFE. De asemenea, se recomanda masurarea pH-ului si temperaturii probei, unde este posibil, iar spectrele trebuie corectate daca valorile parametrilor mentionati depasesc pragul normal. Nu este necesara corectia spectrelor, daca temperatura probei, este intre  $20^0\text{ C}$  si  $25^0\text{ C}$ , pH-ul intre 6 si 8, sau absorbtia prezinta o valoare sub 0,1 la 300 nm. In cazul monitorizarii din prezentului studiu, cele 2 sisteme acvatice au prezentat parametri cu valori care nu au depasit pragul limita, nefiind necesara corectia spectrelor.

## **Activitatea 3. Monitorizarea continua prin spectroscopia de fluorescenta**

Fluorescenta DOM prezinta 5 maxime majore, denumite A, C, M, B si T, nomenclatura introdusa de Coble [14] pentru identificarea zonelor corespunzatoare compusilor DOM din EEM. Astfel, maximele T si B indica activitatea microbiana, triptofan si respectiv tirozina [15] si se coreleaza cu consumul biochimic de oxigen [1]. Maximele C si M sunt asociate substantelor humice reprocesate chimic si microbial, in timp ce maximul A arata o sursa terestra primara [16]. Perechile de lungimi de unda excitare / emisie sunt specifice fiecarei fractiuni: T<sub>1</sub> si T<sub>2</sub> pentru triptofan ( $\lambda_{excitatie} / \lambda_{emisie} \sim 225 / \sim 350\text{ nm} - T_1$ ,  $\lambda_{excitatie} / \lambda_{emisie} \sim 280 / \sim 350\text{ nm} - T_2$ ), B pentru tirozina ( $\lambda_{excitatie} / \lambda_{emisie} \sim 225 / \sim 305\text{ nm}$ ), A si C pentru substantele humice ( $\lambda_{excitatie} / \lambda_{emisie} \sim 225 / 400 - 500\text{ nm} - A$ ,  $\lambda_{excitatie} / \lambda_{emisie} 300 - 350 / 400 - 500\text{ nm} - C$ ) si M pentru DOM reprocesat ( $\lambda_{excitatie} / \lambda_{emisie} 310 - 320 / 380 - 420\text{ nm}$ ). In figura 2, sunt prezentate exemple de EEM pentru cele doua sisteme acvatice investigate.

### **Activitatea 3.1 Compararea spectrelor de fluorescenta ale celor doua sisteme acvatice analizate**

Scopul compararii spectrelor de fluorescenta, rezultante din monitorizarea continua, ale celor doua sisteme a fost de a obtine o mai buna intrelegere a caracteristicilor componentelor DOM, la scala diurna, si de a testa versatilitatea montajului experimental. Monitorizarea continua a demonstrat ca cele doua sisteme prezinta caracteristici diferite ale DOM nu numai in ceea ce priveste amprenta spectrala si raportul intre componente ci si prin comportamentul diurn al materiei organice. Matricile apartinand probelor din raul urban sunt caracterizate de cantitati mari de materie humica, in comparatie cu fractiunea microbiana, in



*Figura 2 Matrici de excitare – emisie pentru probe de apa din (a) canalul artificial si (b) raul urban. T<sub>1</sub> si T<sub>2</sub> - triptofan, B - tirozina, A si C - substanțele humice, M - DOM reprocesat.*

deplasare a lungimii de unda catre regiunea maximului M. Tendinta catre maximul M sugereaza ca DOM din apele pluviale eliberate in rau a fost reprocesat anterior eliberarii sau reprocesat in cadrul raului; de aceea, exista o cantitate semnificativa de DOM proaspata reprocesat. In cazul canalului artificial, lungimea de unda de emisie a fost localizata intre maximul C si maximul M, prezentand nicio modificare dupa precipitatii.

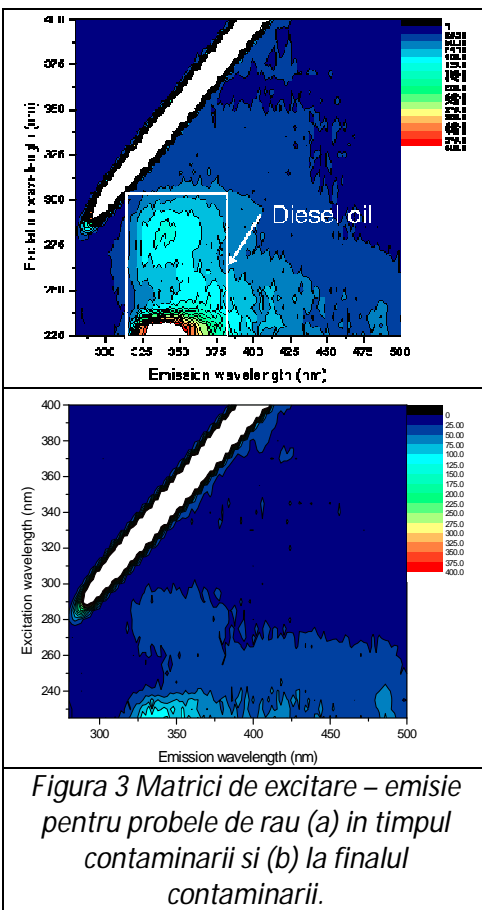
### **Activitatea 3.2 Monitorizarea poluariei petroliere si estimarea cantitatii contaminantului pe baza amprentei spectrale**

Un sistem acvatic tipic prezinta maxime de fluorescenta corespunzatoare fractiunilor DOM principale, humica si proteica. In cazul contaminarii cu ape menajere, intensitatea fluorescentei componentei proteice creste proportional cu cantitatea contaminantului, iar in cazul unui aport mare de ape pluviale sau a unor activitati geologice maximele de fluorescenta ale componentei humice cresc in intensitate. Astfel, identificarea tipului de contaminant este simpla, fiecare prezintand fluorescenta intr-o zona diferita din EEM. Insa, contaminarea cu produse petroliere produce o amprenta spectrala mult mai complexa si greu de analizat. Mai mult, fluorescenta anumitor produse petroliere se suprapune cu fluorescenta componentei proteice. De aceea, este foarte important sa se evaluateze fluorescenta tipurilor principale de produse petroliere. In acest sens, s-a monitorizat o poluare accidentală cu motorina a unui rau urban, pe o perioada de 5 zile. Din EEM, s-au identificat doua maxime dominante, aparținând contaminarii cu motorina, cu  $\lambda_{\text{excitare}} = 235 \text{ nm}$  și  $275 \text{ nm}$  și cu  $\lambda_{\text{emisie}} = 340 \text{ nm}$  (Fig. 3a). Dupa 5 zile de la contaminare, maximele de fluorescenta au scăzut in intensitate cu ~ 80 % de la cea mai mare valoare inregistrata (Fig. 3b).

Fluorescenta produselor petroliere este data de un grup de fluorofori intrinseci, denumiți hidrocarburi aromatici, care prezinta maxime de fluorescenta la diferite lungimi de unda de emisie in functie de numarul de inele aromatice pe care il contin. Astfel, cu cat numarul de inele aromatice este mai mare, cu atat lungimea de unda de emisie este mai mare [19, 20]. In cazul acestui studiu, maximele aparțin compusilor cu 2 (naftalina) si 3 (fenantrena si antracena) inele aromatice. Aceasta informatie este foarte importanta deoarece indica persistenta si toxicitatea poluantului in mediu. In general, hidrocarburile aromatici cu <4 inele aromatice (masa moleculara mica) prezinta un grad mai mic de toxicitate si persistenta redusa, comparativ cu hidrocarburile cu >4 inele aromatice (masa moleculara mare) [21]. In

timp ce probele din canalul artificial au prezentat un raport opus intre cele doua componente (Figura 2). Calitatea apei din raul urban este influentata foarte puternic de precipitatii, care cresc cantitatea DOM, in principal, prin aportul de ape pluviale. Nu s-a observat un impact al precipitatilor asupra probelor de apa din canal, desi s-au inregistrat cantitati similare de precipitatii in perioada de monitorizare. Conform Swanson et al. [17], datorita vitezei de curgere de ape foarte scazute si a dispersiei incete din cadrul canalelor, in comparatie cu raurile, aportul de ape pluviale determina predominanta nutrientilor, asigurand un flux continuu de nutrienti, pe coloana de apa, promovand eutrofizarea. In aceste conditii, apa canalelor prezinta un proces continuu de procesare a materiei organice, spre deosebire de rauri unde DOM este reprocesat imediat [18]. Aceste diferente sunt observate in spectrele de fluorescenta, prin prezenta unei intensitati mai mari de fluorescenta a maximului T<sub>1</sub> la probele din canal, in comparatie cu probele din rau. Procesarea constanta a materiei organice si cantitatile mari de nutrienti conduc la un semnal de fluorescenta a maximului T de intensitate mare si invariabil, in cazul spectrelor din canal, in timp ce spectrele probelor din rau prezinta variabilitate mare.

Precipitatii au influentat si lungimea de unda de emisie a maximului C, la probele din raul urban, generand o



**Figura 3 Matrici de excitare – emisie pentru probele de rau (a) in timpul contaminarii si (b) la finalul contaminarii.**

timpul monitorizarii, la 1 zi de la monitorizare, s-a observat o scadere brusca a intensitatii fluorescentei, ceea ce confirma prezenta hidrocarburilor cu masa moleculara mica (naftalina, fenantrena si antracena). De asemenea, Schwarzenbach et al. [22] sustin ca naftalina este cea mai solubila in apa dintre hidrocarburi, fiind mai probabil ca aceasta sa paraseasca mediul.

S-a constatat ca hidrocarburile cu 2 si 3 inele aromatice, ofera cele doua maxime din figura 3, dar nu este clar daca metoda este capabila sa detecteze tipul de combustibil si sa-i estimeze cantitatea. In acest sens, s-au analizat, in laborator, 2 probe de motorina si benzina, disponibile pe piata. Spectrele de fluorescenta ale acestor probe prezinta maxime de fluorescenta diferite, cu privire la pozitia si forma acestora. Spectrul benzinei prezinta un maxim mare in domeniul  $\lambda_{excitare/emisie} = 340 - 380 \text{ nm} / 380 - 430 \text{ nm}$ , in timp ce spectrul motorinei are doua maxime mici la  $\lambda_{excitare/emisie} = 305 \text{ nm} / 340 \text{ nm} \text{ si } 330 \text{ nm} / 380 \text{ nm}$ . Pe baza acestor caracteristici, e posibila distingerea intre combustibili prin amprente de fluorescenta ale acestora.

Studii anterioare [5, 23] au aratat ca trasaturile reale ale spectrului de fluorescenta se modifica la concentratii mari, din cauza IFE. Presupunand ca, proba nediluata de motorina folosita in acest studiu a fost afectata de IFE, s-a realizat o serie de dilutii cu metanol pentru a obtine o corespondenta intre amprente de fluorescenta

ale motorinei masurate in laborator si cele ale probelor masurate in timpul monitorizarii. S-a observat o deplasare a lungimilor de unda de emisie, catre lungimi de unda mai mici, incepand cu proba nediluata pana la dilutia de 75 ppm. De asemenea, intensitatea maximului de fluorescenta a crescut odata cu scaderea concentratiei, de la proba nediluata la concentratia de 150 ppm. Aceasta tendinta a fost urmata de o scadere a intensitatii la proba cu o concentratie de motorina de 75 ppm. Din cauza IFE, hidrocaburile cu masa moleculara mare absorb o mare parte din radiatia emisa de hidrocaburile cu masa moleculara mica, dar dupa dilutie semnalul de fluorescenta la hidrocaburile cu <4 inele aromatice poate fi, de asemenea, observat. Pe baza caracteristicilor spectrelor de fluorescenta ale motorinei la diferite concentratii se poate presupune ca, in cazul monitorizarii in timp real, concentratia de motorina este intre 150 si 300 ppm.

#### **Concluzii si potențiale aplicatii ale metodei**

Studiul a demonstrat capacitatea spectroscopiei de fluorescenta de a monitoriza, in timp real si *in situ*, materia organica naturala si poluarile accidentale. Insa, inainte de initierea procesului de monitorizare prin fluorescenta este necesara masurarea parametrilor standard (temperatura, pH, absorbtie) si trasarea curbelor de calibrare, in cazul in care sunt depasite valorile normale, pentru corectia spectrelor. Montajul experimental, pentru monitorizarea DOM, este versatil si prezinta numeroase potențiale aplicatii. De exemplu, metoda poate fi aplicata in controlul on-line al proceselor de tratare a apei menajere. De asemenea, poate fi utilizata cu succes in monitorizarea apelor reciclate, a sistemelor urbane cu efluenti de ape menajere sau in evaluarea compozitiei si concentratiei DOM pentru evitarea producerii de produse secundare in urma tratarii cu clor a apei potabile.

#### **Activitatea 4 Diseminarea rezultatelor**

##### **Publicatii**

E.M. Carstea, L. Ghervas, G. Pavelescu, M. Tautan, Real-time monitoring of an urban river contaminated with petroleum products, *Environmental Engineering and Management Journal*, 11(2), 279-283, 2012.

E.M. Carstea, L. Ghervas, G. Pavelescu, C. Ioja, Correlation of dissolved organic matter fluorescence and several metals concentration in a freshwater system, *Procedia Environmental Sciences*, 14, 41-48, 2012.

E.M. Carstea, Fluorescence spectroscopy as a potential tool for in-situ monitoring of dissolved organic matter in surface water systems, In: *Water Pollution*, N. Balkis (Ed.), InTech – Open Access Publisher, 47-68, 2012.

M. Ciobanu, V. Turcus, D. Savastru, A. Ardelean, C. Cotoraci, R. Savastru, E. M. Carstea, L. Ghervase, Two approaches characterizing the chaotic behavior of neurons, *Digest Journal Of Nanomaterials And Biostructures*, 7 (4), 1519-1525, 2012.

M. Ciobanu, L. Preda, D. Savastru, R. Savastru, E.M. Carstea, L. Ghervase, Tunability of a hexagonal and of a triangular photonic crystals, acceptata spre publicare in *Moldavian Journal of the Physical Sciences*, 2012.

### **Masa rotunda cu tema "Monitorizarea calitatii apei" (anexa 1)**

#### **Participare la conferinte si stagii de lucru**

- Stagiul de lucru la Institutul de Stiinta Mediului, Universitatea Bogazici, Istanbul, Turcia, pentru a studia, impreuna cu Prof. Miray Bekbolet si Dr. Ceyda Uyguner, capacitatea spectroscopiei de fluorescenta de a evalua eficienta tratarii apei prin fotocataliza.
- Conferinte:
  - *Conferinta Nationala de Fizica CNF 2012*, 8-10 iulie, Constanta, cu abstractul, Continuous monitoring of dissolved organic matter fluorescence from an urban canal, E.M. Carstea, L. Ghervase, G. Pavelescu, M. Tautan, M. Ciobanu
  - *6<sup>th</sup> International Conference on Materials Science and Condensed Matter Physics, MSCMP 2012*, 11-14 septembrie, Chisinau, Republica Moldova cu abstractul Band gaps of a 2.5 D photonic crystal, M. Ciobanu, L. Preda, D. Savastru, R. Savastru.

#### **Bibliografie**

- [1] N. Hudson et al., *Science of the Total Environment*, 391 (1) (2008), 149–158. [2] S.R. Ahmad, Reynolds D.M., *Water Research*, 33 (1999), 2069-2074. [3] R.K. Henderson et al., *Water Research*, 43 (2009), 863-881. [4] A. Baker, *Water Research*, 39 (2005), 4405-4412. [5] C.J. Watras, Hanson P.C., Stacy T.L., Morrison K.M., Mather J., Hu Y.-H., Milewski P., *Limnology and Oceanography: Methods*, 9 (2011), 296–301. [6] O. Divya, Mishra A.K., *Analytica Chimica Acta*, 630 (2008), 47–56. [7] C.A. Parker, Barnes W.J., *The Analyst* 82 (978) (1957), 606–618. [8] J.R. Lakowicz, *Principles of Fluorescence Spectroscopy*, Third edition, Publisher Springer New York (2006). [9] M. Kubista et al., *The Analyst*, 119 (3) (1994), 417–419. [10] A. Baker, Curry M., *Water Research*, 38 (2004), 2605-2613. [11] X. Luciani et al., *Chemometrics and Intelligent Laboratory Systems*, 96 (2009), 227-238. [12] D.M. Reynolds, Ahmad S.R., *Water Research*, 31 (1997), 2012-2018. [13] A. Baker et al., *Chemosphere*, 67 (2007), 2035–2043. [14] P.G. Coble, *Marine Chemistry*, 51 (1996), 325-346. [15] S. Cumberland et al., *Environmental Technology*, 33 (2012), 687-693. [16] S.K.L. Ishii, Boyer T.H., *Environmental Science and Technology*, 46 (2012), 2006–2017. [17] L.A. Swanson et al., *Hydrology: Science and Practice for the 21<sup>st</sup> Century*, Publisher British Hydrological Society, II (2004), 160-167. [18] P.A. Raymond et al., *Marine Chemistry*, 92 (2004), 353– 366. [19] D.Y. Pharr et al., *Ground Water*, 30 (4) (1992), 484–489. [20] O. Abbas et al., *Talanta*, 75 (2006), 857–871. [21] A. Chauhan et al., *Indian Journal of Microbiology*, 48 (2008), 95–113. [22] R.P. Schwarzenbach, Gschwend P.M., Imboden D.M., *Environmental Organic Chemistry*, John Wiley & Sons, New York, (1993). [23] A. Ryder, *Reviews in Fluorescence*, Eds. Geddes C.D. and Lakowicz J.R. , Springer US (2005), 169-198.

Director proiect,





## Organizator

Dr. Elfrida Carstea  
  
Institutul National de Cercetare - Dezvoltare pentru Optoelectronica, INOE 2000

✉️✉️

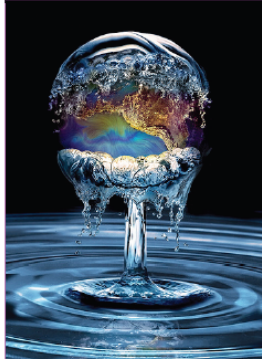


## Contact

Institutul National de Cercetare - Dezvoltare pentru Optoelectronica, INOE 2000  
  
Atomistilor 409  
Magurele Ilfov  
  
frida@inoe.inoe.ro

✉️✉️

## Masa rotunda



Monitorizarea calitatii apei

✉️✉️  
25 octombrie 2012  
INOE 2000



## Program

10:00 – Monitorizarea on-line a materiei organice dizolvate prin spectroscopia de fluorescenta – Dr. Elfrida Carstea  
10:30 – Calitatea sistemelor acvative in zonele urbane – Dr. Cristian Ioja  
11:00 – Necesitatea identificarii unor tehnici optime de monitorizare eficienta a calitatii apei – discutii  
11:30 – Pauza de cafea.  
12:00 – Vizita in laborator

✉️✉️

## Invitati

Dr. Gabriela Pavelescu, Institutul National de Cercetare – Dezvoltare pentru Optoelectronica  
Dr. Lidia Niculita - Universitatea Tehnica de Constructii Bucuresti  
Dr. Cristian Ioja, Centrul de Cercetare a Mediului si Efectuare a Studiilor de Impact  
Dr. Mircea Ciobanu, Institutul National de Cercetare – Dezvoltare pentru Optoelectronica  
Dr. Gabriel Vanau, Centrul de Cercetare a Mediului si Efectuare a Studiilor de Impact  
Diana Onose, Centrul de Cercetare a Mediului si Efectuare a Studiilor de Impact

✉️✉️

Masa rotunda sustinuta in cadrul proiectului:  
Investigarea fundamentala si holistica a fractiunilor materiei organice dizolvate in vederea dezvoltarii unei metode inovative de semnalare  
Cod proiect: PN-II-RU-TE-2011-3-0077

